

PERNYATAAN KEASLIAN PENELITIAN

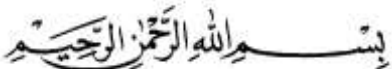
Saya menyatakan bahwa tugas akhir ini adalah asli hasil karya saya dan didalamnya tidak terdapat karya (tulisan) yang pernah diajukan untuk memperoleh gelar kesarjanaan diperguruan tinggi lain sebelumnya. Selain itu, karya tulis ilmiah ini juga tidak berisi pendapat atau hasil penelitian yang sudah dipublikasikan oleh orang lain selain referensi yang dengan menyebutkan sumber didalamnya naskah dan daftar pustaka.

Yogyakarta, 1 Januari 2020



Muhammad Arya Guma Nairo

HALAMAN PERSEMBAHAN



Dengan mengucap Alhamdulillahirabbilalaamiin, puji syukur kepada Allah SWT yang telah memberikan segala rahmat-Nya dan atas dukungan dan doa dari orang-orang tercinta sehingga penulis bisa tetap tegar untuk menyelesaikan skripsi ini dengan baik dan tepat pada waktunya. Oleh karena itu dengan rasa bahagia dan bangga penulis haturkan terimakasih yang setulus-tulusnya kepada :

1. Bapak Berli Paripurna Kaniel, S.T.,M.M. M.Eng.Sc, Ph.D, selaku Ketua Prodi S1 Teknik Mesin Universitas Muhammadiyah Yogyakarta.
2. Bapak Dr. Ir. Sukamta M.T., IPM., selaku dosen pembimbing tugas akhir atas bimbingan, bantuan dan saran-saran yang telah diberikan kepada penyusun dalam menyelesaikan skripsi ini.
3. Bapak Dr. Ir. Sudarja M.T., selaku dosen pembimbing tugas akhir atas bimbingan, bantuan dan saran-saran yang telah diberikan kepada penyusun dalam menyelesaikan skripsi ini.
4. Bapak Wahyudi, S.T., M.T. selaku dosen pengaji.
5. Keluarga tercinta, bapak Aidil dan ibu Karyaniati yang selalu berdoa dan memberikan dukungan untuk kesuksesan penulis. Penulis tidak bisa membalas seluruh kebaikan kedua orangtua, akan tetapi penulis hanya bisa mendoakan semoga segala jerih payah dan dukungan dari kedua orangtua dibalas oleh Allah SWT dan semoga penulis bisa membahagiakan kedua orangtua di dunia dan di akhirat.
6. Kepada teman-teman satu kontrakan saya yaitu : Dipta, Singgih, Wildan, dan Nadjip terimakasih karena telah menemani perjuangan selama perkuliahan ini dan terimakasih untuk kehangatan yang kalian berikan.
7. Mas Arif Widiyatama S.T., M.Eng. selaku mentor yang telah membantu dalam proses pengolahan data.
8. Teman teman kelas seluruh angkatan teknik mesin 2015 yang telah membantu berjuang selama kuliah di UMY.

9. Kelompok tugas akhir Aliran Dua Fase, karna kalian penulis bisa melaksanakan pengambilan data dan pengolahan data.
10. Kepada teman berbagi Amirah Haerani yang telah memberikan semangat dan dukungan dalam proses pengerjaan skripsi ini dari awal sampai akhir
Penyusun menyadari bahwa masih banyak kekurangan dalam penyusunan tugas akhir ini. Saran dan kritik yang membangun sangat diharapkan sebagai bahan masukan untuk perbaikan. Semoga hasil penelitian ini dapat bermanfaat dan dapat digunakan dengan baik dalam bidang ilmu pengetahuan, teknik dan para pembaca.

MOTTO

Ibda' binafsik tsumma man ta'ulu

The sun is gone, but I have a light

(Kurt Cobain)

We hear and we obey

(Surah An Nur, Verse 51)

KATA PENGANTAR

Puji syukur kehadirat Allah SWT, yang telah memberikan kekuatan dan kemampuan serta atas segala limpahan rahmat, taufik, dan hidayah-Nya sehingga penyusun dapat menyelesaikan tugas akhir dengan judul “Investigasi Fraksi Hampa Aliran Dua Fase Udara-Akuades dan Gliserin (40-70)% pada Pipa Kapiler dengan Kemiringan 5^0 Terhadap Posisi Horizontal” yang merupakan salah satu syarat untuk menyelesaikan program strata-1 Program Studi Teknik Mesin Fakultas Teknik Universitas Muhammadiyah.

Tugas akhir ini membahas tentang fraksi hampa aliran dua fase udara-akuades dan gliserin (40-70)% pada pipa kapiler dengan kemiringan 5^0 terhadap posisi horizontal dengan hasil pola aliran yang didapatkan fraksi hampa adalah pola aliran *plug*, *bubbly*, *slug-annular*, *annular*, dan *churn*. Selain itu juga dibahas tentang kecepatan pola *bubbly* dan *plug*, frekuensi pola *bubbly* dan *plug*, dan panjang pola *bubbly* dan *plug*, kemudian menjadi dasar dalam perhitungan penurunan tekanan (*pressure gradient*). Penelitian mengenai fraksi hampa (*void friction*) yang bertujuan untuk mengetahui karakteristik nilai fraksi hampa pada pola aliran *plug*, *bubbly*, *slug-annular*, *annular*, dan *churn* pada aliran dua fase dengan kemiringan 5^0 pada pipa kapiler horizontal sehingga memudahkan dalam melakukan analisa lebih lanjut.

Yogyakarta Desember 2019

Penyusun

Muhammad Arya Guma Nairo

DAFTAR ISI

| | |
|--|-------|
| INVESTIGASI FRAKSI HAMPA DUA FASE UDARA AKUADES DAN GLISERIN (40-70) % PADA PIPA KAPILER DENGAN KEMIRINGAN 5° TERHADAP POSISI HORIZONTAL..... | i |
| LEMBAR PENGESAHAN | ii |
| PERNYATAAN KEASLIAN PENELITIAN | iii |
| HALAMAN PERSEMBAHAN | iv |
| MOTTO | vi |
| KATA PENGANTAR | vii |
| DAFTAR ISI..... | viii |
| DAFTAR TABEL | xi |
| DAFTAR GAMBAR..... | xii |
| DAFTAR LAMPIRAN | xvii |
| DAFTAR NOTASI..... | xviii |
| INTISARI | xix |
| ABSTRACT | xx |
| BAB I | 1 |
| PENDAHULUAN..... | 1 |
| 1.1 Latar Belakang | 1 |
| 1.2 Rumusan Masalah | 2 |
| 1.3 Batasan Masalah..... | 3 |
| 1.4 Tujuan Penelitian | 3 |
| 1.5 Manfaat Penelitian | 3 |
| BAB II | 4 |
| TINJAUAN PUSTAKA DAN DASAR TEORI..... | 4 |
| 2.1 Tinjauan Pustaka | 4 |
| 2.2 Dasar Teori | 12 |
| 2.2.1 Fasa..... | 12 |
| 2.2.2 Metode Fraksi Hampa | 12 |
| 2.2.3 Hampa Fraksi Homogen | 14 |
| 2.2.4 Rasio Kecepatan | 14 |
| 2.2.5 <i>Digital Image Processing</i> | 15 |

| | | |
|--------------------------------|--|----|
| 2.2.6 | Image | 16 |
| 2.2.7 | Noise | 17 |
| 2.2.8 | Filtering | 18 |
| 2.2.9 | Metode Analisis Statistik | 19 |
| BAB III..... | | 20 |
| METODE PENELITIAN | | 20 |
| 3.1 | Tempat Penelitian..... | 20 |
| 3.2 | Bahan Penelitian..... | 20 |
| 3.3 | Alat Penelitian..... | 21 |
| 3.3.1 | Aliran Fluida Cair | 22 |
| 3.3.2 | Aliran Fluida Gas | 25 |
| 3.3.3 | Peralatan Uji..... | 26 |
| 3.3.4 | Peralatan Pengambilan Gambar | 28 |
| 3.4 | Kalibrasi Alat Ukur..... | 29 |
| 3.5 | Diagram Alir Penelitian | 30 |
| 3.6 | Jalan penelitian..... | 31 |
| 3.7 | Prosedur pengambilan data | 31 |
| 3.8 | Pengolahan Data dan Analisa Hasil..... | 32 |
| 3.8.1 | Data Visual untuk Fraksi Hampa..... | 32 |
| BAB IV | | 35 |
| PEMBAHASAN | | 35 |
| 4.1 | Fraksi Hampa (<i>Void Fraction</i>) | 35 |
| 4.1.1 | Fraksi Hampa untuk Pola Aliran <i>Plug</i> | 35 |
| 4.1.2 | Fraksi Hampa untuk Pola <i>Bubbly</i> | 41 |
| 4.1.3 | Fraksi Hampa untuk Pola <i>Slug-Annular</i> | 47 |
| 4.1.4 | Fraksi Hampa untuk Pola <i>Annular</i> | 53 |
| 4.1.5 | Fraksi Hampa untuk Pola <i>Churn</i> | 59 |
| 4.2 | Kecepatan dan <i>Cross-Correlation</i> Aliran <i>Bubbly</i> dan <i>Plug</i> | 65 |
| 4.2.1 | <i>Cross-Correlation</i> Aliran <i>bubbly</i> dan <i>Plug</i> | 65 |
| 4.2.2 | Kecepatan aliran <i>Bubbly</i> dan <i>Plug</i> | 67 |
| 4.3 | Panjang <i>Bubbly</i> dan <i>Plug</i> | 67 |
| 4.4 | Frekuensi <i>Bubbly</i> dan <i>Plug</i> | 68 |

| | | |
|-----------------------------------|--|-----------|
| 4.5 | Perbandingan karakteristik aliran terhadap kenaikan viskositas .. | 69 |
| BAB V..... | | 70 |
| KESIMPULAN DAN SARAN | | 70 |
| 5.1 | Kesimpulan | 70 |
| 5.2 | Saran..... | 71 |
| DAFTAR PUSTAKA | | 72 |

DAFTAR TABEL

| | |
|---|----|
| Tabel 3.1 Sifat fisik fluida cair | 20 |
| Tabel 3.2 Spesifikasi Kamera..... | 28 |
| Tabel 3.3 Konversi gambar RGB ke biner | 33 |

DAFTAR GAMBAR

| | |
|---|----|
| Gambar 2. 1 Hubungan antara fraksi hampa dengan pola aliran pada pipa diameter 2 mm (a) Aliran Plug, (b) Aliran Churn, (c) Aliran Slug-Annular, (d) Aliran Annular | 5 |
| Gambar 2. 2 Perbandingan antara nilai terukur (total) dengan nilai perhitungan dengan asumsi aliran homogen (akselerasi) (Triplett dkk.,1999) | 6 |
| Gambar 2. 3. Hubungan antara pengukuran dengan fraksi hampa (Kawahara dkk, (2002) | 6 |
| Gambar 2. 4 Perbandingan pressure drop pipa (a) diameter 4 mm, (b) diameter 6 mm, dan (c) diameter 8 mm | 7 |
| Gambar 2. 5. (a) Pengaruh J_G dan J_L terhadap fraksi hampa, (b) pengaruh β terhadap ϵ , ($\epsilon = \alpha$) Sudarja dkk, 2015) | 8 |
| Gambar 2. 6 (a) pertumbuhan aliran bubble $d=1\text{mm}$, (b) pertumbuhan aliran bubble $d=4\text{mm}$ | 9 |
| Gambar 2. 7. Perbandingan fraksi hampa dengan studi literatur sebelumnya | 10 |
| Gambar 2. 8. Perbandingan fraksi hampa gas dengan dan tidak menggunakan tegangan permukaan..... | 10 |
| Gambar 2. 9. Jenis aliran (a) Bubbly, (b) Slug, (c) Churn, (d) Annular, (e) bubbly (small) | 11 |
| Gambar 2. 10 Fraksi hampa cross-section (Thome, 2004)..... | 13 |
| Gambar 2. 11 fraksi hampa chordal (Thome, 2004)..... | 13 |
| Gambar 2. 12 Fraksi hampa volumetrik (Thome, 2004) | 14 |
| Gambar 2. 13. Langkah-langkah dalam image processing (Mayor dkk, 2008) .. | 16 |
| Gambar 2. 14. contoh gambar RGB dengan aliran plug | 16 |
| Gambar 2. 15. Contoh gambar Greyscale dengan aliran plug..... | 17 |
| Gambar 2. 16. Contoh gambar biner dengan aliran plug | 17 |
| Gambar 3. 1 Skema instalasi penelitian | 22 |
| Gambar 3. 2 Water Pump | 23 |
| Gambar 3. 3 Wadah Fluida Cair | 23 |
| Gambar 3. 4 Tangki bertekanan | 24 |
| Gambar 3. 5. flowmeter cairan (a) kapasitas 0-500 ml/menit, (b) kapasitas 100-50 ml/menit, dan (c) kapasitas 0.1-1 GPM | 24 |
| Gambar 3. 6 Kompresor | 25 |
| Gambar 3. 7 flowmeter udara (a) range 100ml/menit, (b) range 1000 ml/menit, dan 10000 ml/menit | 26 |
| Gambar 3. 8 Mixer | 26 |
| Gambar 3. 9 Flens..... | 27 |
| Gambar 3. 10 Optical correction box | 27 |
| Gambar 3. 11 Lampu penerangan..... | 28 |
| Gambar 3. 12 Kamera kecepatan tinggi | 29 |

| | |
|--|----|
| Gambar 3. 13 Diagram alir penelitian | 30 |
| Gambar 4. 1. Pola aliran plug (a) $J_G = 0,207 \text{ m/s}$, $J_L = 0,232 \text{ m/s}$ dan (b) $J_G = 0,207 \text{ m/s}$, $J_L = 0,539 \text{ m/s}$ | 35 |
| Gambar 4. 2 Time average fraksi hampa pada (a) $J_G = 0,207 \text{ m/s}$, $J_L = 0,232 \text{ m/s}$ dan (b) $J_G = 0,207 \text{ m/s}$, $J_L = 0,539 \text{ m/s}$ | 36 |
| Gambar 4. 3 PDF aliran plug pada (a) $J_G = 0,207 \text{ m/s}$, $J_L = 0,232 \text{ m/s}$ dan (b) $J_G = 0,207 \text{ m/s}$, $J_L = 0,539 \text{ m/s}$ | 36 |
| Gambar 4. 4. Pola aliran plug (a) $J_G = 0,116 \text{ m/s}$, $J_L = 0,033 \text{ m/s}$ dan (b) $J_G = 0,066 \text{ m/s}$, $J_L = 0,033 \text{ m/s}$ | 37 |
| Gambar 4. 5 Time average fraksi hampa pada (a) $J_G = 0,116 \text{ m/s}$, $J_L = 0,033 \text{ m/s}$ dan (b) $J_G = 0,066 \text{ m/s}$, $J_L = 0,033 \text{ m/s}$ | 37 |
| Gambar 4. 6 PDF aliran plug pada (a) $J_G = 0,116 \text{ m/s}$, $J_L = 0,033 \text{ m/s}$ dan (b) $J_G = 0,066 \text{ m/s}$, $J_L = 0,033 \text{ m/s}$ | 38 |
| Gambar 4. 7. Pola aliran plug (a) $J_G = 0,066 \text{ m/s}$, $J_L = 0,033 \text{ m/s}$ dan (b) $J_G = 0,116 \text{ m/s}$, $J_L = 0,033 \text{ m/s}$ | 38 |
| Gambar 4. 8. Time average fraksi hampa pada (a) $J_G = 0,066 \text{ m/s}$, $J_L = 0,033 \text{ m/s}$ dan (b) $J_G = 0,116 \text{ m/s}$, $J_L = 0,033 \text{ m/s}$ | 39 |
| Gambar 4. 9 Grafik PDF terhadap fraksi hampa aliran plug pada (a) $J_G = 0,066 \text{ m/s}$, $J_L = 0,033 \text{ m/s}$ dan (b) $J_G = 0,116 \text{ m/s}$, $J_L = 0,033 \text{ m/s}$ | 39 |
| Gambar 4. 10. Pola aliran plug (a) $J_G = 0,025 \text{ m/s}$, $J_L = 0,149 \text{ m/s}$ dan (b) $J_G = 0,116 \text{ m/s}$, $J_L = 0,149 \text{ m/s}$ | 40 |
| Gambar 4. 11. Time average fraksi hampa pada (a) $J_G = 0,025 \text{ m/s}$, $J_L = 0,149 \text{ m/s}$ dan (b) $J_G = 0,116 \text{ m/s}$, $J_L = 0,149 \text{ m/s}$ | 40 |
| Gambar 4. 12. Grafik PDF terhadap fraksi hampa aliran plug pada (a) $J_G = 0,025 \text{ m/s}$, $J_L = 0,149 \text{ m/s}$ dan (b) $J_G = 0,116 \text{ m/s}$, $J_L = 0,149 \text{ m/s}$ | 41 |
| Gambar 4. 13. Pola aliran bubbly (a) $J_G = 0,207 \text{ m/s}$, $J_L = 0,149 \text{ m/s}$ dan (b) $J_G = 0,207 \text{ m/s}$, $J_L = 0,7 \text{ m/s}$ | 41 |
| Gambar 4. 14. Time average fraksi hampa pada (a) $J_G = 0,207 \text{ m/s}$, $J_L = 0,149 \text{ m/s}$ dan (b) $J_G = 0,207 \text{ m/s}$, $J_L = 0,7 \text{ m/s}$ | 42 |
| Gambar 4. 15. PDF aliran bubbly pada (a) $J_G = 0,207 \text{ m/s}$, $J_L = 0,149 \text{ m/s}$ dan (b) $J_G = 0,207 \text{ m/s}$, $J_L = 0,7 \text{ m/s}$ | 42 |
| Gambar 4. 16. Pola aliran bubbly (a) $J_G = 0,025 \text{ m/s}$, $J_L = 0,7 \text{ m/s}$ dan (b) $J_G = 0,025 \text{ m/s}$, $J_L = 0,539 \text{ m/s}$ | 43 |
| Gambar 4. 17. Time average fraksi hampa pada (a) $J_G = 0,025 \text{ m/s}$, $J_L = 0,7 \text{ m/s}$ dan (b) $J_G = 0,025 \text{ m/s}$, $J_L = 0,539 \text{ m/s}$ | 43 |
| Gambar 4. 18. PDF aliran bubbly pada (a) $J_G = 0,025 \text{ m/s}$, $J_L = 0,7 \text{ m/s}$ dan (b) $J_G = 0,025 \text{ m/s}$, $J_L = 0,539 \text{ m/s}$ | 44 |
| Gambar 4. 19. Pola aliran bubbly (a) $J_G = 0,025 \text{ m/s}$, $J_L = 0,539 \text{ m/s}$ dan (b) $J_G = 0,025 \text{ m/s}$, $J_L = 0,7 \text{ m/s}$ | 44 |
| Gambar 4. 20. Time average fraksi hampa pada (a) $J_G = 0,025 \text{ m/s}$, $J_L = 0,539 \text{ m/s}$ dan (b) $J_G = 0,025 \text{ m/s}$, $J_L = 0,7 \text{ m/s}$ | 45 |
| Gambar 4. 21. PDF aliran bubbly pada (a) $J_G = 0,025 \text{ m/s}$, $J_L = 0,539 \text{ m/s}$ dan (b) $J_G = 0,025 \text{ m/s}$, $J_L = 0,7 \text{ m/s}$ | 45 |

| | |
|---|----|
| Gambar 4. 22. Pola aliran bubbly (a) $J_G = 0,025 \text{ m/s}$, $J_L = 0,879 \text{ m/s}$ dan (b) $J_G = 0,025 \text{ m/s}$, $J_L = 2,297 \text{ m/s}$ | 46 |
| Gambar 4. 23. Time average fraksi hampa pada (a) $J_G = 0,025 \text{ m/s}$, $J_L = 1,879 \text{ m/s}$ dan (b) $J_G = 0,025 \text{ m/s}$, $J_L = 2,297 \text{ m/s}$ | 46 |
| Gambar 4. 24. PDF aliran bubbly pada (a) $J_G = 0,025 \text{ m/s}$, $J_L = 1,879 \text{ m/s}$ dan (b) $J_G = 0,025 \text{ m/s}$, $J_L = 2,297 \text{ m/s}$ | 47 |
| Gambar 4. 25. Pola aliran slug-annular (a) $J_G = 7 \text{ m/s}$, $J_L = 0,033 \text{ m/s}$ dan (b) $J_G = 4,238 \text{ m/s}$, $J_L = 0,033 \text{ m/s}$ | 48 |
| Gambar 4. 26. Time average fraksi hampa pada (a) $J_G = 7 \text{ m/s}$, $J_L = 0,033 \text{ m/s}$ dan (b) $J_G = 4,238 \text{ m/s}$, $J_L = 0,091 \text{ m/s}$ | 48 |
| Gambar 4. 27. PDF aliran aliran slug-annular pada (a) $J_G = 7 \text{ m/s}$, $J_L = 0,033 \text{ m/s}$ dan (b) $J_G = 4,238 \text{ m/s}$, $J_L = 0,091 \text{ m/s}$ | 49 |
| Gambar 4. 28. Pola aliran slug-annular (a) $J_G = 7 \text{ m/s}$, $J_L = 0,091 \text{ m/s}$ dan (b) $J_G = 4,238 \text{ m/s}$, $J_L = 0,091 \text{ m/s}$ | 49 |
| Gambar 4. 29. Time average fraksi hampa pada (a) $J_G = 7 \text{ m/s}$, $J_L = 0,091 \text{ m/s}$ dan (b) $J_G = 4,238 \text{ m/s}$, $J_L = 0,091 \text{ m/s}$ | 50 |
| Gambar 4. 30. PDF aliran slug annular pada (a) $J_G = 7 \text{ m/s}$, $J_L = 0,091 \text{ m/s}$ dan (b) $J_G = 4,238 \text{ m/s}$, $J_L = 0,091 \text{ m/s}$ | 50 |
| Gambar 4. 31. Pola aliran slug-annular (a) $J_G = 7 \text{ m/s}$, $J_L = 0,091 \text{ m/s}$ dan (b) $J_G = 4,238 \text{ m/s}$, $J_L = 0,091 \text{ m/s}$ | 51 |
| Gambar 4. 32. Time average fraksi hampa pada (a) $J_G = 7 \text{ m/s}$, $J_L = 0,091 \text{ m/s}$ dan (b) $J_G = 4,238 \text{ m/s}$, $J_L = 0,091 \text{ m/s}$ | 51 |
| Gambar 4. 33. PDF aliran aliran slug-annular pada (a) $J_G = 7 \text{ m/s}$, $J_L = 0,091 \text{ m/s}$ dan (b) $J_G = 4,238 \text{ m/s}$, $J_L = 0,091 \text{ m/s}$ | 52 |
| Gambar 4. 34. Pola aliran slug-annular (a) $J_G = 4,238 \text{ m/s}$, $J_L = 0,091 \text{ m/s}$ dan (b) $J_G = 9,62 \text{ m/s}$, $J_L = 0,091 \text{ m/s}$ | 52 |
| Gambar 4. 35. Time average fraksi hampa pada (a) $J_G = 4,238 \text{ m/s}$, $J_L = 0,091 \text{ m/s}$ dan (b) $J_G = 9,62 \text{ m/s}$, $J_L = 0,091 \text{ m/s}$ | 53 |
| Gambar 4. 36. PDF aliran aliran slug-annular pada (a) $J_G = 4,238 \text{ m/s}$, $J_L = 0,091 \text{ m/s}$ dan (b) $J_G = 9,62 \text{ m/s}$, $J_L = 0,091 \text{ m/s}$ | 53 |
| Gambar 4. 37. Pola aliran annular (a) $J_G = 58,05 \text{ m/s}$, $J_L = 0,091 \text{ m/s}$ dan (b) $J_G = 58,05 \text{ m/s}$, $J_L = 0,232 \text{ m/s}$ | 54 |
| Gambar 4. 38. Time average fraksi hampa pada (a) $J_G = 58,05 \text{ m/s}$, $J_L = 0,091 \text{ m/s}$ dan (b) $J_G = 58,05 \text{ m/s}$, $J_L = 0,232 \text{ m/s}$ | 54 |
| Gambar 4. 39. PDF aliran annular pada (a) $J_G = 58,05 \text{ m/s}$, $J_L = 0,091 \text{ m/s}$ dan (b) $J_G = 58,05 \text{ m/s}$, $J_L = 0,232 \text{ m/s}$ | 55 |
| Gambar 4. 40. Pola aliran bubbly (a) $J_G = 50 \text{ m/s}$, $J_L = 0,149 \text{ m/s}$ dan (b) $J_G = 50 \text{ m/s}$, $J_L = 0,232 \text{ m/s}$ | 55 |
| Gambar 4. 41. Time average fraksi hampa pada (a) $J_G = 50 \text{ m/s}$, $J_L = 0,149 \text{ m/s}$ dan (b) $J_G = 50 \text{ m/s}$, $J_L = 0,232 \text{ m/s}$ | 56 |
| Gambar 4. 42. PDF aliran annular pada (a) $J_G = 50 \text{ m/s}$, $J_L = 0,149 \text{ m/s}$ dan (b) $J_G = 50 \text{ m/s}$, $J_L = 0,232 \text{ m/s}$ | 56 |

| | |
|---|----|
| Gambar 4. 43. Pola aliran annular (a) $J_G = 50 \text{ m/s}$, $J_L = 0,033 \text{ m/s}$ dan (b) $J_G = 66,3 \text{ m/s}$, $J_L = 0,033 \text{ m/s}.....$ | 57 |
| Gambar 4. 44. Time average fraksi hampa pada (a) $J_G = 50 \text{ m/s}$, $J_L = 0,033 \text{ m/s}$ dan (b) $J_G = 66,3 \text{ m/s}$, $J_L = 0,033 \text{ m/s}.....$ | 57 |
| Gambar 4. 45. PDF aliran annular pada (a) $J_G = 50 \text{ m/s}$, $J_L = 0,149 \text{ m/s}$ dan (b) $J_G = 50 \text{ m/s}$, $J_L = 0,232 \text{ m/s}$ | 57 |
| Gambar 4. 46. Pola aliran annular (a) $J_G = 50 \text{ m/s}$, $J_L = 0,033 \text{ m/s}$ dan (b) $J_G = 58,05 \text{ m/s}$, $J_L = 0,033 \text{ m/s}.....$ | 58 |
| Gambar 4. 47. Time average fraksi hampa pada (a) $J_G = 50 \text{ m/s}$, $J_L = 0,033 \text{ m/s}$ dan (b) $J_G = 58,05 \text{ m/s}$, $J_L = 0,033 \text{ m/s}.....$ | 58 |
| Gambar 4. 48. PDF aliran annular pada (a) $J_G = 50 \text{ m/s}$, $J_L = 0,033 \text{ m/s}$ dan (b) $J_G = 58,05 \text{ m/s}$, $J_L = 0,033 \text{ m/s}$ | 59 |
| Gambar 4. 49. Pola aliran churn (a) $J_G = 50 \text{ m/s}$, $J_L = 4,935 \text{ m/s}$ dan (b) $J_G = 66,3 \text{ m/s}$, $J_L = 4,935 \text{ m/s}.....$ | 59 |
| Gambar 4. 50. Time average fraksi hampa pada (a) $J_G = 50 \text{ m/s}$, $J_L = 4,935 \text{ m/s}$ dan (b) $J_G = 66,3 \text{ m/s}$, $J_L = 4,935 \text{ m/s}.....$ | 60 |
| Gambar 4. 51. PDF aliran churn pada (a) $J_G = 50 \text{ m/s}$, $J_L = 4,935 \text{ m/s}$ dan (b) $J_G = 66,3 \text{ m/s}$, $J_L = 4,935 \text{ m/s}$ | 60 |
| Gambar 4. 52. Pola aliran churn (a) $J_G = 66,3 \text{ m/s}$, $J_L = 4,935 \text{ m/s}$ dan (b) $J_G = 50 \text{ m/s}$, $J_L = 4,935 \text{ m/s}.....$ | 61 |
| Gambar 4. 53. Time average fraksi hampa pada (a) $J_G = 66,3 \text{ m/s}$, $J_L = 4,935 \text{ m/s}$ dan (b) $J_G = 50 \text{ m/s}$, $J_L = 4,935 \text{ m/s}.....$ | 61 |
| Gambar 4. 54. PDF aliran churn pada (a) $J_G = 50 \text{ m/s}$, $J_L = 4,935 \text{ m/s}$ dan (b) $J_G = 66,3 \text{ m/s}$, $J_L = 4,935 \text{ m/s}$ | 62 |
| Gambar 4. 55. Pola aliran churn (a) $J_G = 66,3 \text{ m/s}$, $J_L = 4,935 \text{ m/s}$ dan (b) $J_G = 50 \text{ m/s}$, $J_L = 4,935 \text{ m/s}.....$ | 62 |
| Gambar 4. 56. Time average fraksi hampa pada (a) $J_G = 66,3 \text{ m/s}$, $J_L = 4,935 \text{ m/s}$ dan (b) $J_G = 50 \text{ m/s}$, $J_L = 4,935 \text{ m/s}.....$ | 63 |
| Gambar 4. 57. PDF aliran churn pada (a) $J_G = 50 \text{ m/s}$, $J_L = 4,935 \text{ m/s}$ dan (b) $J_G = 66,3 \text{ m/s}$, $J_L = 4,935 \text{ m/s}$ | 63 |
| Gambar 4. 58. Pola aliran churn (a) $J_G = 66,3 \text{ m/s}$, $J_L = 4,935 \text{ m/s}$ dan (b) $J_G = 50 \text{ m/s}$, $J_L = 4,935 \text{ m/s}.....$ | 64 |
| Gambar 4. 59. Time average fraksi hampa pada (a) $J_G = 66,3 \text{ m/s}$, $J_L = 4,935 \text{ m/s}$ dan (b) $J_G = 50 \text{ m/s}$, $J_L = 4,935 \text{ m/s}.....$ | 64 |
| Gambar 4. 60. PDF aliran churn pada (a) $J_G = 50 \text{ m/s}$, $J_L = 4,935 \text{ m/s}$ dan (b) $J_G = 66,3 \text{ m/s}$, $J_L = 4,935 \text{ m/s}$ | 65 |
| Gambar 4. 61. Grafik cross-correlation aliran bubbly pada (a) $J_G = 0,025 \text{ m/s}$, $J_L = 0,7 \text{ m/s}$ dan (b) $J_G = 0,025 \text{ m/s}$, $J_L = 0,539 \text{ m/s}.....$ | 66 |
| Gambar 4. 62 Grafik cross-correlation aliran plug pada (a) $J_G = 0,116 \text{ m/s}$, $J_L = 0,033 \text{ m/s}$ dan (b) $J_G = 0,066 \text{ m/s}$, $J_L = 0,033 \text{ m/s}.....$ | 66 |
| Gambar 4. 63 Grafik kecepatan aliran bubbly dan plug..... | 67 |
| Gambar 4. 64 Grafik Panjang Bubbly dan Plug | 68 |
| Gambar 4. 65 Grafik Frekuensi pola aliran bubbly dan plug | 68 |

Gambar 4. 66 Pengaruh viskositas terhadap karakteristik pola aliran plug (a) $J_G = 0,116 \text{ m/s}$ dan $J_L = 0,033 \text{ m/s}$ glisern 50%, (b) $J_G = 0,116 \text{ m/s}$ dan $J_L = 0,033 \text{ m/s}$ glisern 60%, (c) $J_G = 0,066 \text{ m/s}$ dan $J_L = 0,033 \text{ m/s}$ gliserin 50% (d) $J_G = 0,066 \text{ m/s}$ dan $J_L = 0,033 \text{ m/s}$ gliserin 60% 69

DAFTAR LAMPIRAN

| | | |
|------------|--|----|
| Lampiran 1 | Tabel pengambilan data dengan J_G dan J_L berjumlah 144 variasi | 81 |
| Lampiran 2 | Matriks perhitungan kecepatan <i>bubbly</i> dan <i>plug</i> | 82 |
| Lampiran 3 | Matriks perhitungan panjang <i>bubbly</i> dan <i>plug</i> | 82 |
| Lampiran 4 | Matriks perhitungan frekuensi <i>bubbly</i> dan <i>plug</i> | 83 |

DAFTAR NOTASI

| | |
|--|---|
| A = Luas penampang (m^2) | α = Fraksi hampa penelitian |
| A_G = Luasan gas (m^2) | β = Fraksi Hampa homogen |
| A_L = Luasan cairan (m^2) | ε = Fraksi hampa |
| C_s = Kecepatan konstanta | ρ = Massa jenis (kg/m^3) |
| D = Diameter pipa (μm) | ρ_G = Densitas udara (kg/m^3) |
| D_H = Diameter pipa (mm) | ρ_L = Densitas air (kg/m^3) |
| J_G = Kecepatan superfisial udara(m/s) | μ = Viskositas dinamik ($kg/m.s$) |
| J_L = Kecepatan superfisial air (m/s) | Δt = Jeda waktu (s) |
| L_G = Panjang garis dilewati udara (m) | S = Rasio kecepatan |
| L_L = Panjang garis dilewati air (m) | t = waktu (s) |
| L_s = Jarak aksial (m) | U_G = Kecepatan udara (m/s) |
| x = Kualitas gas | U_L = Kecepatan air (m/s) |
| | U_s = Kecepatan <i>bubbly</i> (m/s) |
| | v = Viskositas kinematik (m^2/s) |